

## 8 - 9 近畿地域の地下水位・歪観測結果 (2019 年 11 月～2020 年 4 月)

**Observational Results of Groundwater Levels and Crustal Strains in the Kinki District, Japan (November 2019 – April 2020)**産業技術総合研究所  
Geological Survey of Japan, AIST

2019 年 11 月～2020 年 4 月の近畿地域におけるテレメータによる地下水位およびボアホール型歪計による地殻歪（水平 3 成分）の観測結果を報告する。観測点は 12 点（観測井は 14 井戸）である（第 1 図）。同期間中に第 1 図で示す範囲内で、M4 以上で深さ 30 km より浅い地震は、無かった。

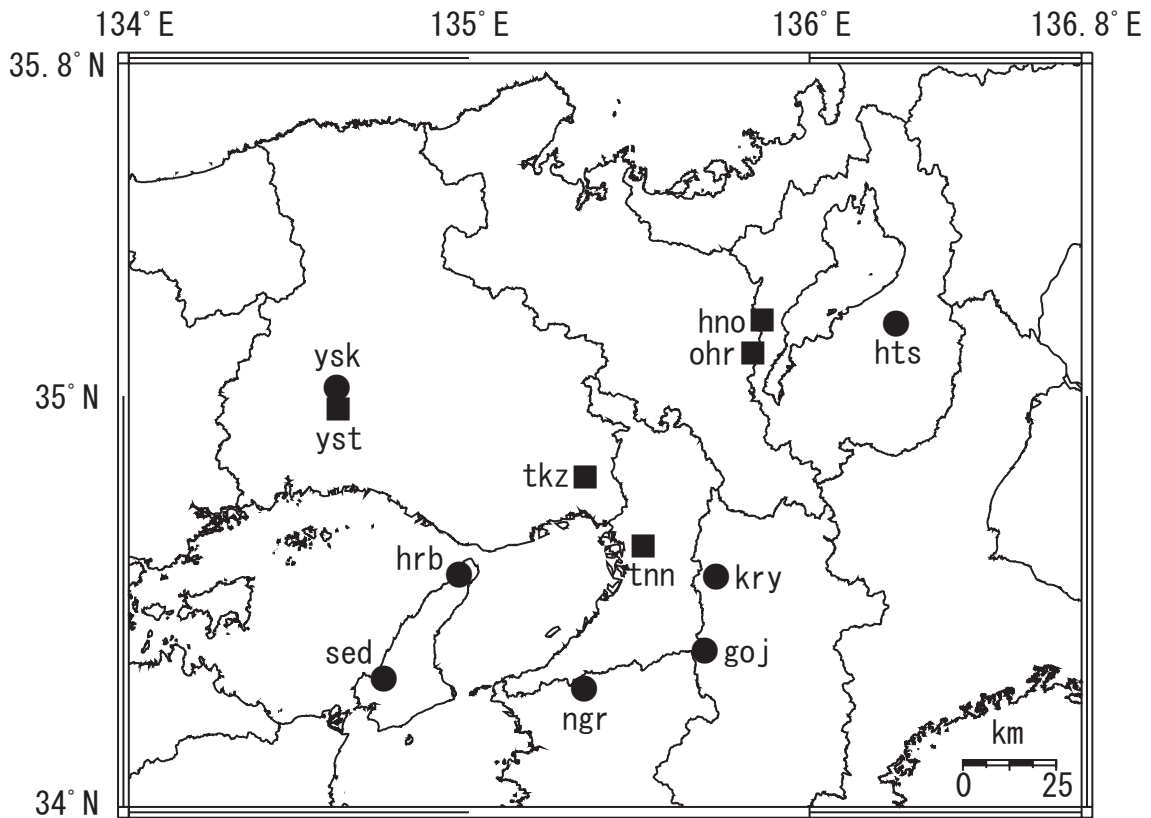
第 101 巻の資料から、hks を外し（“紀伊半島～四国の歪・傾斜・地下水観測結果”の資料に移した）、hts と ngr を加えた。その結果、この資料で報告する観測点の数は 1 点増え、観測井の数は 1 本増えた。

今回の資料（第 104 巻）から、ikd を外した（2019 年 9 月で観測終了）。その結果、この資料で報告する観測点の数は 1 点減り、観測井の数は 1 本減った。

第 2～5 図には、2019 年 11 月～2020 年 4 月における地下水位 1 時間値の生データ（上線）と補正值（下線）を示す。ボアホール型歪計が併設してある観測点については、同期間における歪 3 成分の観測値（生データ）も示す。歪の図において「N120」などと示してあるのは、歪の方向が北から 120 度東方向に回転していることを示す。水位補正值（corrected）は、潮汐解析プログラム BAYTAP-G によって、気圧・潮汐・不規則ノイズの影響を除去した結果である。なお、hno・sed・tkz・ysk・yst1・yst2 および yst3 は地上より上に水位が来るので、井戸口を密閉して水圧を測定し、それを水位に換算している。

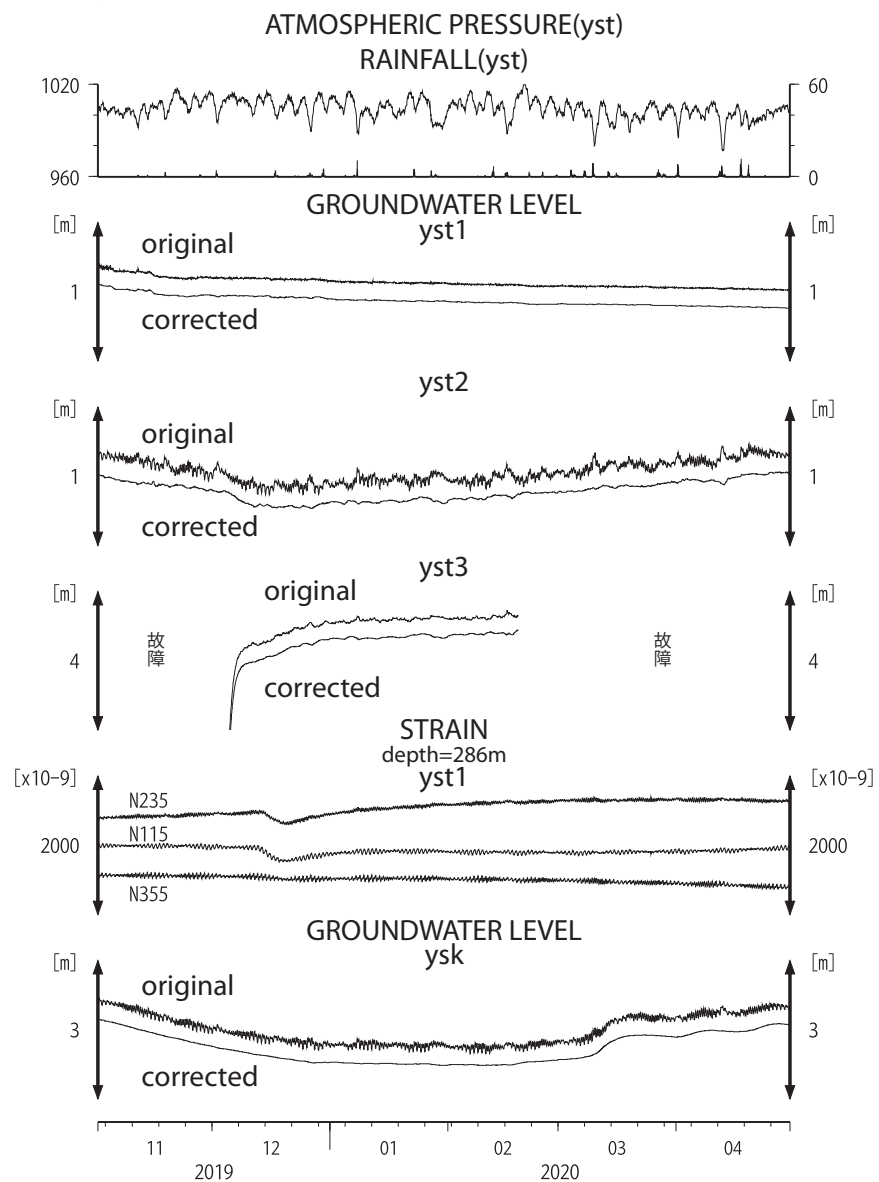
yst3 の地下水位の 2019 年 8 月 21 日から 12 月 4 日まで及び 2020 年 2 月 16 日以降の欠測は水位計の故障のため（第 2 図）。hrb の地下水位の短期的な上下変化は口元から雨が流れ込んだためと思われる（第 3 図）。goj の地下水位の 2020 年 4 月 25 日の故障は水位計の出力異常のため（第 4 図）。これらのデータ（グラフ等）は、<http://www.gsj.jp/wellweb/> で公開されている。

（北川 有一・松本 則夫・佐藤 努・板場 智史・落 唯史・木口 努・矢部 優）

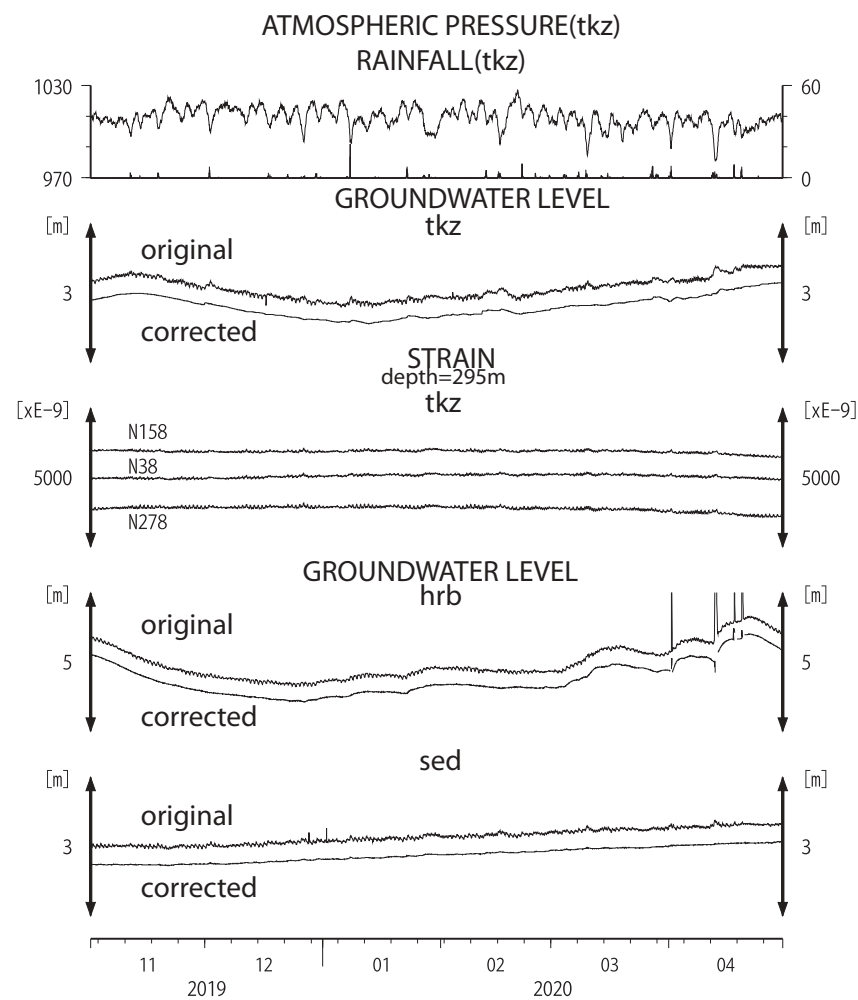


第 1 図 地下水観測点分布図 (●・■)。■は、地下水位に加えて、ボアホール型歪計で地殻歪を測定している観測点。  
 yst : 安富, ysk : 安富北, tkz: 宝塚, hrb : 平林, sed : 西淡, tnn : 天王寺, kry : 広陵, goj : 五條, ngr : 岩  
 出東坂本, ohr : 大原, hno : 花折, hts : 愛荘香之庄。

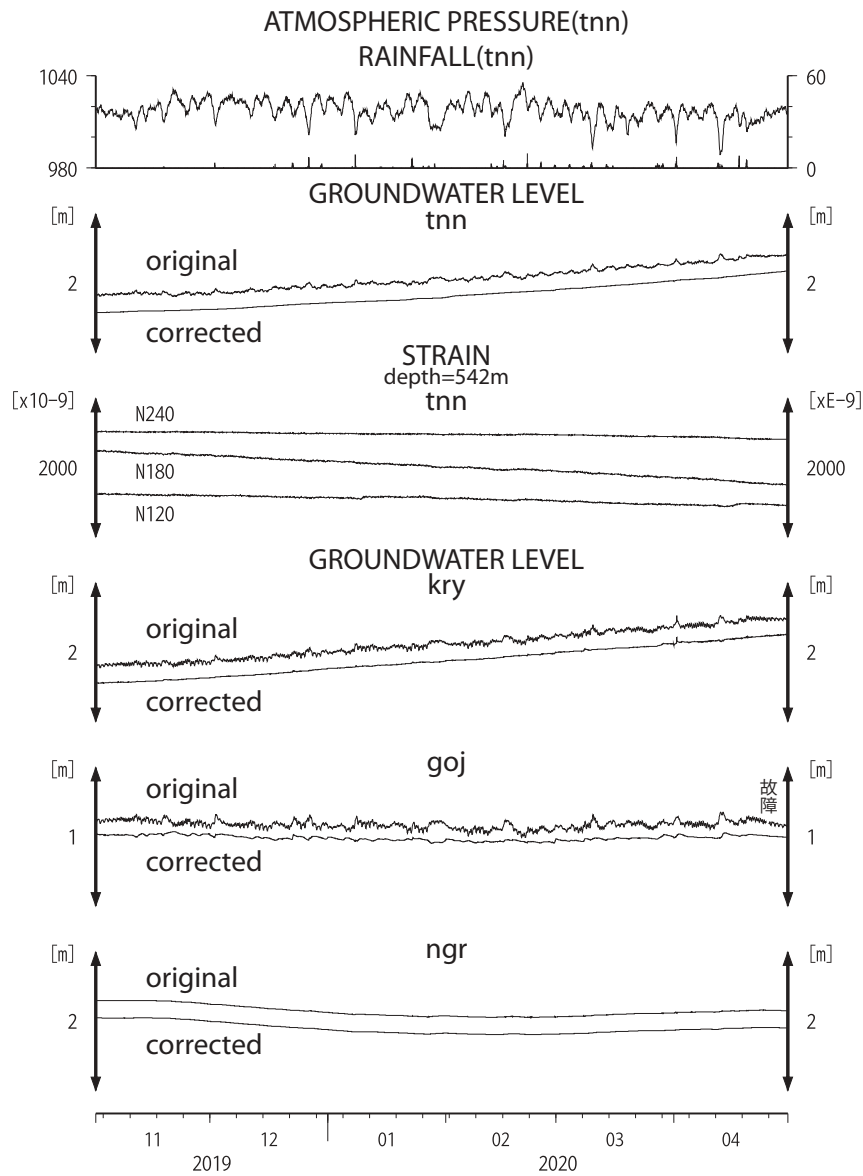
Fig. 1 Distribution of groundwater observation stations of Geological Survey of Japan, AIST (●・■). At the stations shown  
 by the solid squares, crustal strains are also observed by borehole strainmeters. yst : Yasutomi, ysk : Ystutomi-kita, tkz  
 : Takarazuka, hrb : Hirabayashi, sed : Seidan, tnn : Tennoji, kry : Koryo, goj : Gojo, ngr : Iwade-higashisakamoto, ohr :  
 Oohara, hno : Hanaore, hts : Aishou-konoshou.



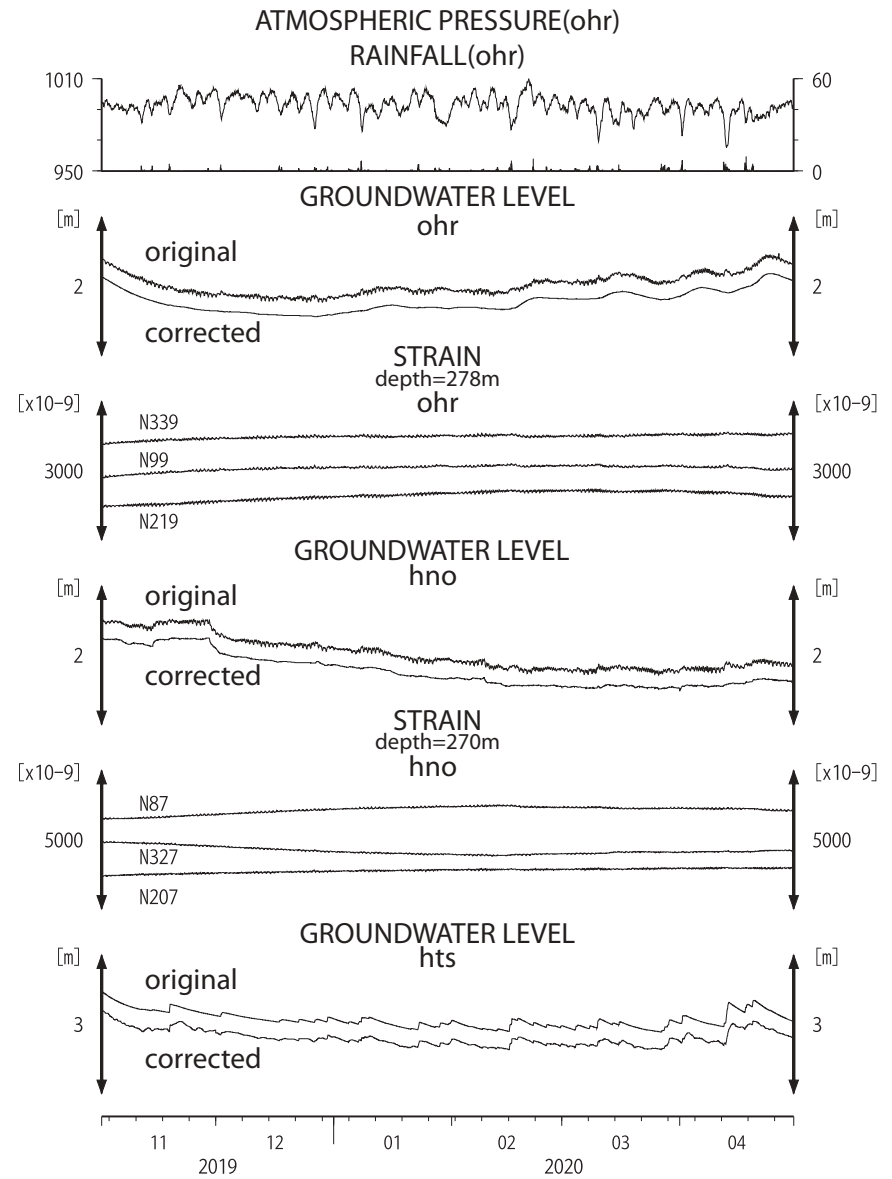
第2図 yst1, yst2, yst3, ysk の2019年11月～2020年4月の観測結果。  
 Fig. 2 Observation results at yst1, yst2, yst3 and ysk from November 2019 to April 2020.



第3図 tkz, hrb, sed, ikd の2019年11月～2020年4月の観測結果。  
 Fig. 3 Observation results at tkz, hrb, sed and ikd from November 2019 to April 2020.



第4図 tnn, kry, goj の2019年11月～2020年4月の観測結果。  
 Fig. 4 Observation results at tnn, kry and goj from November 2019 to April 2020.



第5図 ohr, hno, hts の2019年11月～2020年4月の観測結果。  
 Fig. 5 Observation results at ohr, hno and hts from November 2019 to April 2020.